

التذبذب المطري في محطة شحات: تحليل التباين والانحراف المعياري للهطول المطري وعلاقته
بالظروف المناخية الموسمية (1981–2024)

The Rainfall Variability at Shahat Station: Analysis of Rainfall Variance and Standard Deviation and Its
Relationship with Seasonal Climatic Conditions (1981–2024)

د. فدوی إبراهيم سالم العقوري

fadwa Ibrahim salem elagori

قسم الجغرافيا - كلية الآداب والعلوم الإلدار - جامعة بنغازي

Fadwa.elagori@uob.edu.ly

ملخص

هدف البحث إلى دراسة التذبذب المطري في محطة شحات خلال الفترة 1981–2024 باستخدام بيانات الهطول المطري الشهرية، ومجموع الهطول السنوي، مع ربطها بالعوامل المناخية مثل الرطوبة ودرجة الحرارة. أظهرت النتائج تذبذبًا واضحًا في الأمطار السنوية، حيث بلغ متوسط الهطول السنوي 9.1 ملم، مع أقصى قيمة 21.2 ملم سنة 2023 وأدنى قيمة 3.5 ملم سنة 2004. سجلت سنوات 2023 و2020 و2019 أعلى تذبذب موجب (8.7+ و 4.5+ ملم)، مقابل أكبر تذبذب سالبة في سنوات 2004 و1999 و2014 (-5.6، -4.4، و -3.9 ملم). على المستوى الشهري، بلغ أعلى انحراف معياري في ديسمبر 1.79 ملم ويناير 1.66 ملم، في حين سجل يولييو وأغسطس أدنى قيم 0.7 ملم تقريبًا. تركز الهطول في الشتاء والخريف، بينما الصيف شبه جاف بالرغم من رطوبة نسبية مرتفعة (73–74%) وحرارة عالية (25–26°C). تُبرز النتائج أهمية مراعاة التذبذب المطري في إدارة الموارد المائية والزراعة.

Abstract:

The study aims to investigate rainfall variability at Shahat Station during the period 1981–2024 using monthly rainfall data and annual total rainfall, linked to climatic factors such as humidity and temperature. The results revealed a clear annual rainfall fluctuation, with an average annual precipitation of 9.1 mm, a maximum of 21.2 mm in 2023, and a minimum of 3.5 mm in 2004. The years 2023, 2020, and 2019 recorded the highest positive deviations (+12.1, +8.7, and +4.5 mm), while 2004, 1999, and 2014 had the largest negative deviations (-5.6, -4.4, and -3.9 mm). Monthly analysis showed the highest standard deviations in December (1.79 mm) and January (1.66 mm), whereas July and August had the lowest values, around 0.7 mm. Rainfall is concentrated in winter and autumn, while summer is nearly dry despite high relative humidity (73–74%) and high temperatures (25–26°C). The findings highlight the importance of considering rainfall variability in water resource management and agricultural planning.

استلام الورقة: 2025-08-20 - قبول الورقة: 2025-08-27 - نشر الورقة: 2025-09-02

كلمات مفتاحية: : التذبذب المطري، الهطول المطري، الانحراف المعياري، التباين، الرطوبة النسبية

Keywords: Rainfall variability, Precipitation, Standard deviation, Variance, Relative humidity

مقدمة:

يُعد الهطول المطري أحد العوامل المناخية الأساسية التي تؤثر على الموارد المائية والزراعة في المناطق شبه الجافة مثل شحات. تتسم كميات الأمطار بعدم انتظام واضح على مدار السنة، مع تركزها في فصول محددة وتذبذب كبير بين السنوات. يمكن قياس هذا التذبذب باستخدام التباين والانحراف المعياري، مما يساعد على فهم طبيعة الأمطار والزراعة بشكل أفضل. كما أن العلاقة بين الهطول المطري والظروف المناخية، مثل الرطوبة ودرجات الحرارة، تلعب دوراً رئيسياً في تحديد توزيع الأمطار وشدةتها. هدف هذا البحث إلى تحليل هذا التذبذب وربطه بالظروف المناخية الموسمية في محطة شحات.

مشكلة البحث:

عدم انتظام الهطول المطري السنوي والشهري يؤدي إلى صعوبة التخطيط للمشاريع الزراعية وإدارة الموارد المائية، بالإضافة إلى زيادة مخاطر الجفاف والفيضانات. ويزدّر الحاجة إلى دراسة التذبذب المطري وربطه بالعوامل المناخية لفهم الديناميكية المطرية في المنطقة.

أهمية البحث:

يوفر هذا البحث معلومات دقيقة حول طبيعة التذبذب المطري في شحات، مما يسهم في:

1. تحسين إدارة الموارد المائية.
2. دعم التخطيط الزراعي وتحديد فترات الري المناسبة.
3. التنبؤ بالمخاطر المناخية مثل الفيضانات والجفاف.
4. المساهمة في الدراسات المناخية المستقبلية للمنطقة.

أهداف البحث:

1. تحليل التذبذب السنوي والشهري للهطول المطري في محطة شحات (1981-2024).
2. حساب التباين والانحراف المعياري لمجموع الهطول المطري.
3. دراسة العلاقة بين التذبذب المطري والظروف المناخية الموسمية (الرطوبة ودرجات الحرارة).
4. تقديم توصيات لإدارة الموارد المائية والزراعة.

أسئلة البحث:

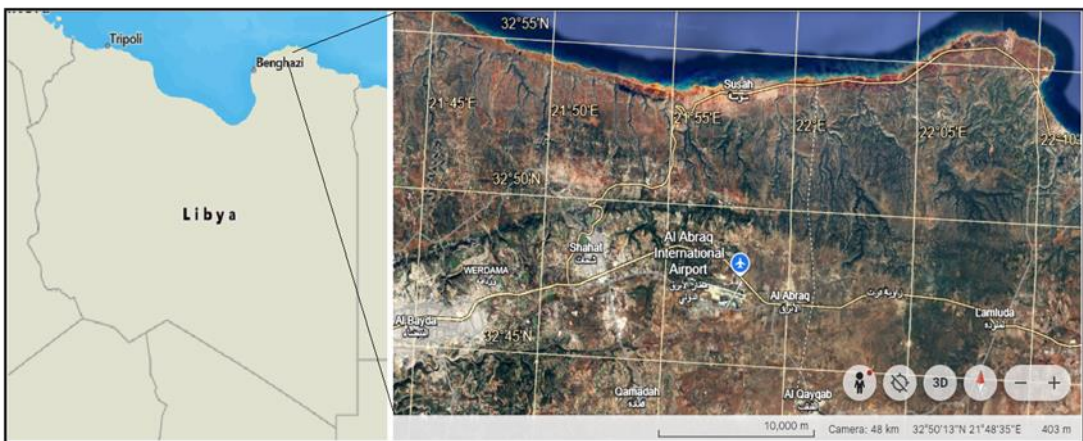
1. ما مدى تذبذب الأمطار السنوي والشهري في محطة شحات؟
2. أي الأشهر تشهد أعلى وأدنى تذبذب مطري؟
3. كيف تؤثر الرطوبة ودرجات الحرارة على تذبذب الهطول؟
4. ما هو دور هذا التذبذب في التخطيط للموارد المائية والزراعة؟

منطقة الدراسة:

المجال الجغرافي: تقع منطقة الدراسة في الجبل الأخضر في شمال شرق ليبيا (خريطة رقم 1) بالقرب من ساحل البحر الأبيض المتوسط وهي قريبة من مدينة البيضاء (البطاول، 2015م، ص 23).

المجال الفلكي: تقع محطة شحات، والواقعة على دائرة عرض 32.801 شمالاً وخط طول 21.865 شرقاً، وعلى ارتفاع 303.04 متر فوق مستوى سطح البحر (العقربي، 2021م، ص 11).

شكل (١) موقع منطقة الدراسة



المصدر: من عمل الباحثة بناءً على (<https://power.larc.nasa.gov/data-access>)

منهجية الدراسة:

١. نوع الدراسة:

الدراسة تحليلية وصفية – كمية، تهدف إلى دراسة تذبذب المطرول المطري في محطة شحات (الجبل الأخضر، ليبيا) خلال الفترة 1981–2024، باستخدام بيانات مطرية ومناخية لتحديد الأنماط الشهرية والسنوية.

٢. مصادر البيانات:

- بيانات المطرول المطري الشهري والمجموع السنوي PRECTOTCORR_SUM و PRECTOTCORR_MAJ مأخوذة من محطة شحات.
- بيانات الرطوبة النسبية ودرجات الحرارة على ارتفاع مترين للفترة نصفها لتوضيح العلاقة بين العوامل المناخية وتذبذب الأمطار.

٣. طرق التحليل الإحصائي:

- حساب المتوسطات الشهرية والسنوية للمطرول المطري لتحديد القيم المرجعية.
- تحليل التباين والانحراف المعياري لتقييم تذبذب الأمطار شهرياً وسنويًا.
- مقارنة المطرول المطري مع القيم المناخية (الرطوبة ودرجة الحرارة) لتحديد تأثير العوامل المناخية على تذبذب المطر.
- تحليل أعلى وأدنى القيم المطرية لتحديد السنوات الجافة والرطبة وأشهر الذروة المطيرة.

٤. الفترة الزمنية:

تم استخدام بيانات المطرول المطري والرطوبة ودرجة الحرارة للفترة 1981–2024 لضمان تحليل طويل المدى يعكس التذبذب الحقيقي للنظام المطري.

٥. أدوات التحليل:

- برامج إكسل (Excel) و SPSS لتحليل البيانات الإحصائية وإنشاء الجداول والرسوم البيانية.
- استخدام الرسوم البيانية الشهرية والسنوية لتوضيح الفروق والتذبذب في المطرول المطري.

٦. المخرجات المتوقعة:

- تحديد الأشهر والسنوات ذات المطرول المطري العالي والمنخفض.

- قياس مدى انتظام ال�طول المطري وتحديد الفترات الانتقالية بين الفصول.
- فهم العلاقة بين ال�طول المطري والمتغيرات المناخية (درجة الحرارة والرطوبة).

الدراسات السابقة

1. العالى، جمعة أرحومة الجالى – (2021) دراسة بعنوان *Trends of Change in Rainfall Amounts in Northeastern Libya during the Period 1961-2010*، والتي تناولت اتجاهات الأمطار في شمال شرق ليبيا بما في ذلك المحطات المناخية المختلفة، ووُجِدَ تفاوتاً مكانيّاً وزمنياً في الاتجاهات مع ميل عام نحو التراجع في بعض الواقع مثل شحات وبنغازي مقارنة بالمناطق الأخرى
2. — UNICEF. (2022). *Libya Water Scarcity and Climate Change: Analysis and Recommendations* على موارد المياه الجوفية في ليبيا بسبب انخفاض هطول الأمطار وزيادة الحرارة والتباخر، مما يزيد من الضغط على الخزانات الجوفية ويؤدي إلى ندرة المياه.
3. Othman & Al-Habbat (2023): تناولت الدراسة اتجاهات معدلات ال�طول المطري في محطة شحات للفترة 1961–2020 باستخدام تقنية التصغير الإحصائي (SDSM) لتوقع التغيرات المستقبلية في الأمطار، وهدفت إلى تحديد ما إذا كان معدل الأمطار سيزداد أو يتضليل في المستقبل بناءً على سيناريوهات التغير المناخي. الدراسة في ليبيا ونشرت في مجلة العلوم الإنسانية والتطبيقية بجامعة المرج، 2023، ووُجِدَت أن هناك اتجاهات متغيرة في معدل المطر وتوقعات بزيادة أو انخفاض محتمل في المستقبل.
4. Al-Jali, J. A. J. (2010). ركزت الدراسة على اتجاهات التغير في كميات الأمطار السنوية في شمال شرق ليبيا (بما في ذلك محطة شحات) للفترة 1961–2010 باستخدام المتوسطات المتحركة الثلاثية، وأظهرت أن معدلات الأمطار تمثل إلى الانخفاض في شحات مقارنة بموقع آخر في المنطقة مع وجود تذبذب غير منتظم في السلسلة الزمنية. الدراسة نُشرت عبر أرشيف جامعة عمر المختار، 2020.
5. B. Z. Hafi (2022): تناولت دراسة تحليل اتجاهات ال�طول السنوي في شمال غرب ليبيا ببيانات من عدة محطات باستخدام اختبارات اتجاه (Mann-Kendall)، وناقشت التغيرات في الأمطار عبر الزمن، مما يساعد على فهم الأنماط المناخية والتذبذب في ليبيا بما يشمل الساحل الشمالي. نُشرت في *The Libyan Journal of Science*، 2022، ووُجِدَت اختلافات ملحوظة في اتجاهات الأمطار بين المحطات المختلفة.

البيانات المناخية:

البيانات المناخية هي مجموعة من القياسات والملاحظات المسجلة للعناصر الجوية، وما يهمنا في هذه الدراسة هو ال�طول المطري، درجات الحرارة، الرطوبة الجوية، سرعة الرياح، ودرجة حرارة سطح الأرض، لأنها العوامل الأساسية التي تؤثر على تذبذب الأمطار ورطوبة التربة في منطقة شحات خلال الفترة 1981–2024م. تحليل هذه البيانات باستخدام التباين والانحراف المعياري للهطول المطري يساعد على تقييم مدى تذبذب الأمطار موسمياً وسنوياً، ويربط ذلك بالظروف المناخية الموسمية وتأثيرها على النظام البيئي المحلي. إذ إن التذبذب المطري يمثل التغير الزمني في كمية الأمطار بين الفترات الرطبة والجافة، وبعد من العوامل الرئيسية المؤثرة في التصحر وتدحرج الأراضي، حيث يؤدي تفاوت الأمطار إلى انخفاض محتوى الرطوبة في التربة، وتراجع الغطاء النباتي، وزيادة فقدان المياه عبر التبخر. في المناطق شبه الجافة مثل شحات، يصبح هذا التأثير واضحاً على النظام البيئي والزراعة، ويتبع دراسة هذه العلاقة فهم ديناميكيات التصحر والتخطيط لإدارة الموارد المائية والزراعية (Mahmoud, 2010., pp. 45-50.).

جدول (1) إجمالي المطر المطهور في محطة شحات للفترة بين 1981-2024 م

النذر	المجموع	ديسمبر	نوفمبر	أكتوبر	سبتمبر	أغسطس	يوليو	يونيو	يُون	يُون	يُون	يُون	يُون	يُون	السنوات
5.4	14.5	0.68	3.76	0.35	0.03	0	0.04	0.04	0.24	0.1	0.11	3.34	5.78	1981	
-2.9	6.2	1.46	0.85	0.07	0	0	0	0	0.03	0.45	0.7	2.12	0.51	1982	
1.8	10.9	0.41	1.86	0.32	0.18	0.57	0	0.03	0.09	0.59	1.52	1.33	4.02	1983	
1.2	10.3	0.91	4.35	0.52	0.03	0	0	0	0	0.54	1.38	0.51	2.09	1984	
-1.2	8.0	1.57	0.14	1.1	0.03	0.02	0	0	0.04	0.89	0.38	2.26	1.52	1985	
-0.5	8.6	1.47	1.96	0.61	1.24	0	0	0	1	0.13	1.13	0.28	0.73	1986	
-0.4	8.7	1.9	0.72	0.05	0.1	0	0	0	0.01	1.06	3.66	0.31	0.84	1987	
2.3	11.4	6.31	1.21	0.37	0.29	0	0	0	0.01	0.04	0.76	1.71	0.66	1988	
-0.8	8.3	0.9	0.57	0.41	0.81	0	0	0.16	0.03	0	2.92	0.9	1.64	1989	
-1.6	7.6	0.31	1.31	0.01	0.32	0	0	0	0.21	0.21	0	1.72	3.46	1990	
3.1	12.2	6.57	0.77	0.24	0.17	0.01	0.02	0	0.79	0.18	0.4	2.07	1	1991	
0.2	9.3	2.2	2	0	0	0	0.07	0	0.08	0.18	0.5	2.98	1.31	1992	
1.6	10.7	0.33	0.31	1.19	0.25	0	0	0	0.19	0	0.55	0.74	7.15	1993	
-1.5	7.6	1.16	1.63	0.96	0	0	0	0	0.04	0.09	0.01	0.71	2.98	1994	
-0.7	8.5	0.35	1.98	2.04	0.09	0	0	0	0.01	1.14	0.83	1.06	0.95	1995	
-2.1	7.1	0.91	0.36	1.35	0.21	0	0	0	0	0.72	0.51	1.4	1.59	1996	
-0.7	8.4	0.72	0.98	1.26	0.03	0	0.05	0	0.1	0.3	1.11	1.95	1.87	1997	
0.1	9.2	3.21	0.36	0.33	0	0	0	0	0.79	0.21	3.46	0.56	0.3	1998	
-4.4	4.7	0.94	0.08	1.29	0.09	0	0	0	0	0.07	0.88	0.15	1.16	1999	
-2.4	6.7	0.76	1.19	0.28	0.28	0	0	0	0.01	0.78	0.2	1.37	1.86	2000	
0.7	9.8	5.37	2.03	0.14	0	0	0	0	0.44	0.15	0.06	0.92	0.65	2001	

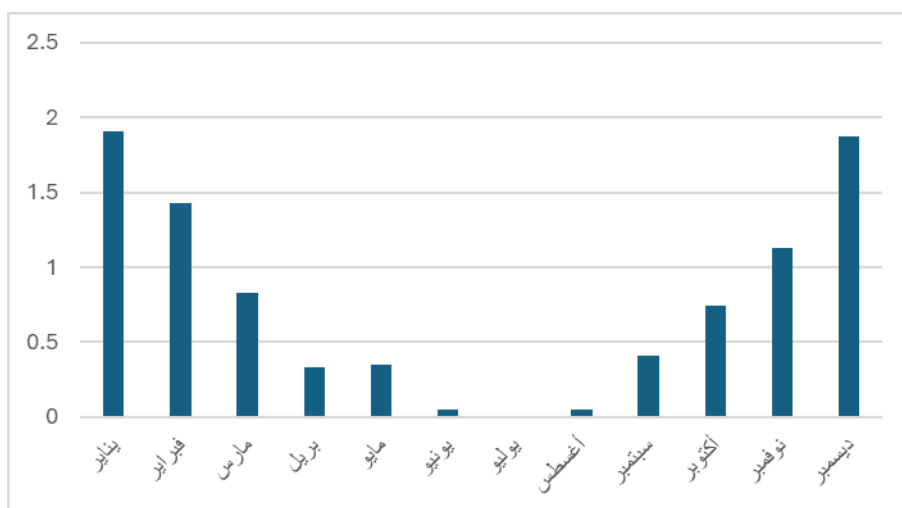
-3.1	6.0	0.83	0.17	0.97	0.46	0.01	0	0	0	0.12	1.18	1.61	0.64	2002
-2.7	6.4	0.84	0.46	0	0.15	0	0	1.17	0.17	0.45	1.18	1.04	0.9	2003
-5.6	3.5	0.55	1.22	0	0	0	0.02	0	0	0.02	0.09	0.03	1.6	2004
0.6	9.7	1.85	0.81	0.37	0.62	0.1	0	0	0	0.6	1.15	1.14	3.04	2005
-2.7	6.4	0.88	1.29	1.17	0	0	0	0.04	0.06	0.11	0.94	1.08	0.86	2006
-0.8	8.3	1.31	0.57	0.51	0.19	0.25	0	0.01	0.99	0.08	0.26	1.73	2.42	2007
0.6	9.7	1.76	0.11	2.47	1.33	0	0	0	0.08	0.4	0.49	2.2	0.9	2008
0.2	9.3	1.7	1.08	1.67	0.21	0	0	0	0.88	0.03	0.37	2.55	0.76	2009
-1.1	8.0	2.94	2.3	1.11	0.13	0	0	0	0.04	0.17	0.11	0.44	0.72	2010
-0.5	8.6	0.93	1.68	0.85	0.11	0	0	0	0.62	1.52	0.15	1.4	1.32	2011
-3.0	6.1	1.58	0.51	0.07	0.05	0	0	0	0.01	0.35	0.18	1.21	2.16	2012
-2.6	6.5	1.89	0.37	2.88	0.43	0	0	0	0.01	0.03	0.04	0.39	0.48	2013
-3.9	5.2	1.34	0.34	1.18	0.2	0	0	0	0	0.03	0.25	0.94	0.91	2014
3.8	12.9	2.97	1.03	0.97	1.47	0.03	0	0.1	2.15	0.33	0.64	1.55	1.68	2015
-1.5	7.6	1.91	0.98	0.04	0.12	0	0	0	1.18	0.04	0.15	0.32	2.9	2016
0.9	10.0	1.58	1.52	2.13	0.75	0	0.02	0.12	0.4	0.85	0.67	0.62	1.32	2017
-2.5	6.6	1.7	0.31	1.46	1.99	0.25	0	0	0.03	0	0.19	0.39	0.24	2018
4.5	13.6	2.84	1.26	0.29	0	0	0.02	0.03	0.04	0.66	0.85	6.36	1.26	2019
8.7	17.8	6.08	2.87	0.18	0.01	0	0	0.02	0	0.12	4.19	0.55	3.75	2020
0.4	9.5	4.59	1.03	0.55	0.27	0	0	0	0	0.02	0.5	0.75	1.75	2021
3.6	12.7	0.2	1.08	0.77	0.45	0.85	0.02	0	0.19	0.02	1.54	2.58	5	2022
12.1	21.2	1.18	0.22	0	4.92	0	0	0.35	4.42	0.6	0.17	4.06	5.24	2023
-2.3	6.8	2.43	0.16	0.19	0.19	0	0	0.03	0.06	0	0.07	1.43	2.26	2024

															المتوسط
12.1	-	6.57	4.35	2.88	4.92	0.85	0.07	1.17	4.42	1.52	4.19	6.36	7.15	أعلى قيمة	
-5.6	-	0.2	0.08	0	0	0	0	0	0	0	0	0.03	0.24	أقل قيمة	

المصدر: من عمل الباحثة بناءً على بيانات (<https://power.larc.nasa.gov/data-access>)

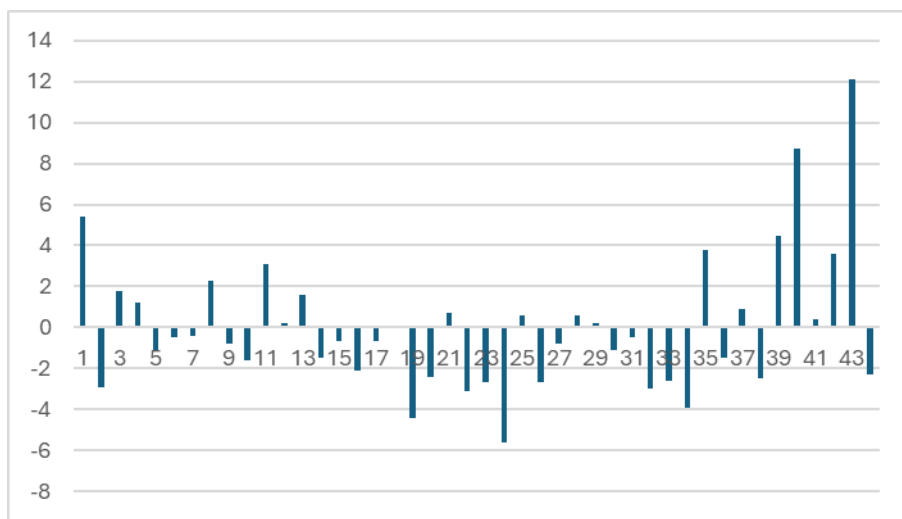
شكل (2) المتوسطات الشهرية لاجمالي الهطول المطري

في محطة شحات للفترة بين 1981-2024م



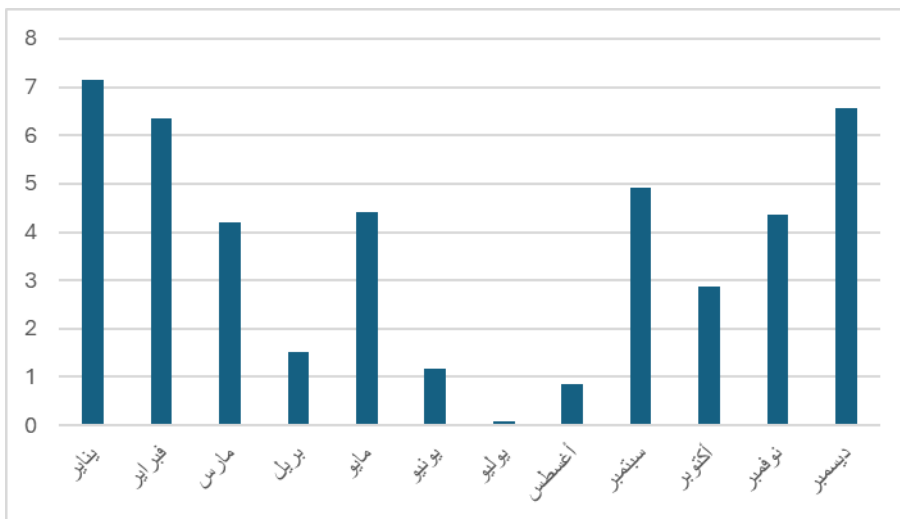
المصدر: من عمل الباحثة بناءً على بيانات الجدول رقم (1)

شكل (3) التذبذب السنوي في الهطول المطري في محطة شحات للفترة بين 1981-2024م



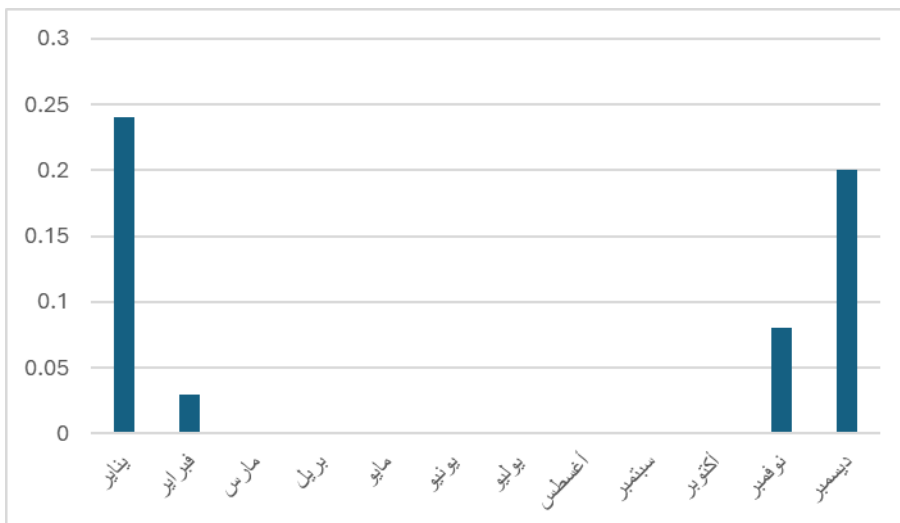
المصدر: من عمل الباحثة بناءً على بيانات الجدول رقم (1)

شكل (4) أعلى قيمة شهرية لاجمالي الهطول المطري في محطة شحات للفترة بين 1981-2024م



المصدر: من عمل الباحثة بناءً على بيانات الجدول رقم (1)

شكل (5) أقل قيمة شهرية لاجمالي الهطول المطري في محطة شحات للفترة بين 1981-2024م



المصدر: من عمل الباحثة بناءً على بيانات الجدول رقم (1)

يُظهر جدول إجمالي الهطول المطري للفترة 2024-1981 تذبذبًا سنويًا واضحًا في كميات الأمطار، وهو ما يعكس عدم انتظام النظام المطري في المنطقة. بلغ المتوسط السنوي العام للهطول حوالي 9.1 ملم، وتراوحت القيم السنوية بين حِدّ أدنى قدره 3.5 ملم سنة 2004 وحدّ أعلى وصل إلى 21.2 ملم سنة 2023، ما يدل على تفاوت كبير بين السنوات الرطبة والجافة.

سُجلت أعلى قيمة تذبذب موجبة في سنة (+8.7) 2023، تلتها سنة (+5.4) 2020، ثم (+4.5) 1981 و (-4.4) 2014، وهي سنوات مطيرة نسبياً مقارنة بالمعدل العام. في المقابل، كانت أكبر قيمة تذبذب سالبة في سنة (-5.6) 2004، ثم (-3.9) 1999 و (-3.9) 2014، ما يشير إلى فترات جفاف واضحة.

على المستوى الشهري، تبيّن أن شهر يناير سُجل أعلى قيمة مطلقة بلغت 7.15 ملم سنة 1993، بينما سُجل فبراير أعلى قيمة له في 6.36 ملم (أما مارس فقد بلغ أقصى هطوله في 4.19 ملم)، في حين سُجلت أعلى قيمة لشهر أبريل في 1.52 ملم (ولشهر مايو في 2011 ملم)، ولشهر مايو في 2023 (4.42 ملم)، ما يعكس مساهمة غير منتظمة لبعض الشهور الربيعية في إجمالي المطر السنوي.

أما أدنى القيم الشهرية، فقد سُجلت في عدة سنوات عند صفر ملم، خصوصاً خلال أشهر الصيف (يونيو-أغسطس)، مما يؤكّد الطابع الجاف للموسم الصيفي. ويُلاحظ أنّ أغلب الهطول المطري يتركز في الفصل البارد (نوفمبر-مارس)، حيث بلغ متوسط نوفمبر 1.13 ملم وديسمبر 1.87 ملم، مع تسجيل أعلى قيمة لديسمبر في 1991 م 6.57 ملم.

بوحدة عام، يعكس هذا التباين الكبير في التذبذب السنوي والشهري تأثير العوامل المناخية الإقليمية، مثل تغير أنماط المنخفضات الجوية، ويؤكّد أنّ النظام المطري يتسم بعدم الاستقرار، مع تتابع سنوات جافة وأخرى رطبة دون نمط ثابت. ويُعدّ هذا التذبذب مؤشراً مهماً عند دراسة الموارد المائية والتخطيط الزراعي في المنطقة.

جدول (2) مجموع إجمالي الهطول المطري في منطقة شحات للفترة بين 1981-2024 م

السنة	يونيو	يوليو	أغسطس	سبتمبر	أكتوبر	نوفمبر	ديسمبر	يناير	فبراير	مارس	أبريل	مايو	يونيو	يوليو	أغسطس	سبتمبر	أكتوبر	نوفمبر	ديسمبر
1981	158.5	434.9	21.2	112.8	10.8	0.8	0.0	1.3	1.3	7.5	2.9	3.5	93.6	179.2	1981				
1982	-92.0	184.4	45.3	25.6	2.2	0.0	0.1	0.0	0.0	0.9	13.4	21.6	59.5	15.9	1982				
1983	55.2	331.6	12.7	55.9	10.0	5.3	17.6	0.0	0.8	2.9	17.7	47.1	37.2	124.6	1983				
1984	38.0	314.4	28.2	130.5	16.2	0.8	0.1	0.0	0.0	0.0	16.3	42.7	14.7	64.9	1984				
1985	-38.4	238.0	48.6	4.1	34.0	0.9	0.5	0.0	0.0	1.1	26.6	11.9	63.3	47.1	1985				
1986	-14.9	261.5	45.7	58.9	18.8	37.3	0.0	0.0	0.0	31.1	3.9	35.1	7.9	22.8	1986				
1987	-11.1	265.3	58.8	21.7	1.5	3.0	0.0	0.0	0.0	0.3	31.9	113.5	8.6	26.0	1987				
1988	71.2	347.6	195.6	36.4	11.5	8.7	0.0	0.0	0.0	0.3	1.2	23.6	49.7	20.6	1988				
1989	-22.0	254.4	28.0	17.0	12.7	24.3	0.0	0.0	4.9	1.0	0.0	90.5	25.2	50.9	1989				
1990	-49.6	226.8	9.5	39.2	0.2	9.6	0.0	0.0	0.0	6.4	6.3	0.1	48.3	107.3	1990				

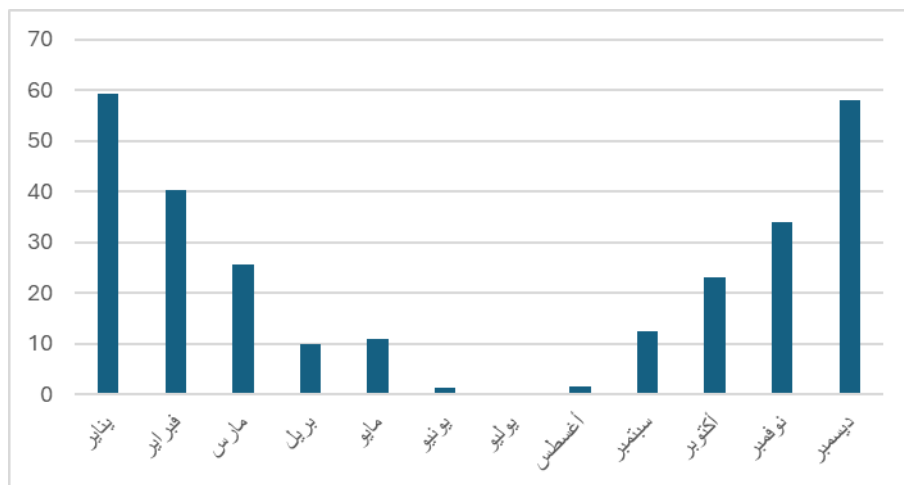
94.9	371.3	203.7	23.0	7.5	5.2	0.2	0.5	0.1	24.5	5.3	12.3	58.0	31.0	1991
4.9	281.3	68.3	60.1	0.0	0.0	0.0	2.1	0.0	2.5	5.5	15.6	86.5	40.8	1992
52.8	329.2	10.1	9.2	36.8	7.5	0.0	0.0	0.0	6.0	0.0	17.2	20.8	221.5	1993
-45.0	231.4	35.9	48.9	29.9	0.0	0.0	0.0	0.0	1.2	2.6	0.4	20.0	92.5	1994
-20.5	255.9	10.8	59.4	63.2	2.8	0.0	0.0	0.1	0.2	34.3	25.8	29.8	29.6	1995
-62.1	214.3	28.3	10.8	41.8	6.2	0.0	0.0	0.0	0.0	21.6	15.7	40.7	49.2	1996
-23.9	252.5	22.5	29.5	39.1	0.9	0.0	1.6	0.0	3.0	8.9	34.4	54.6	58.0	1997
6.9	283.3	99.5	10.7	10.2	0.0	0.0	0.0	0.0	24.6	6.2	107.2	15.6	9.3	1998
-132.5	143.9	29.2	2.3	40.1	2.7	0.0	0.0	0.0	0.1	2.1	27.4	4.2	36.0	1999
-72.3	204.1	23.7	35.7	8.8	8.4	0.0	0.0	0.0	0.3	23.5	6.3	39.7	57.8	2000
21.1	297.5	166.4	60.8	4.4	0.0	0.0	0.0	0.0	13.5	4.5	2.0	25.8	20.1	2001
-96.4	180.0	25.8	5.2	30.0	13.9	0.2	0.1	0.0	0.0	3.5	36.5	45.0	19.9	2002
-84.5	191.9	26.1	13.9	0.0	4.5	0.0	0.0	35.0	5.4	13.6	36.5	29.0	28.0	2003
-168.0	108.4	17.1	36.7	0.0	0.0	0.0	0.6	0.0	0.0	0.7	2.8	0.7	49.7	2004
18.3	294.7	57.4	24.3	11.3	18.5	3.1	0.0	0.0	0.1	18.1	35.8	32.0	94.2	2005
-81.4	195.0	27.2	38.7	36.3	0.0	0.0	0.1	1.3	1.8	3.4	29.2	30.3	26.8	2006
-24.6	251.8	40.5	17.1	15.8	5.8	7.8	0.0	0.3	30.6	2.4	8.0	48.4	75.0	2007
19.0	295.4	54.4	3.4	76.6	39.8	0.0	0.0	0.0	2.4	11.9	15.1	63.8	28.0	2008
1.5	277.9	52.8	32.4	51.8	6.3	0.0	0.0	0.0	27.3	0.9	11.4	71.5	23.6	2009
-33.8	242.6	91.0	68.9	34.5	4.0	0.1	0.0	0.0	1.2	5.1	3.3	12.2	22.3	2010
-17.8	258.6	28.9	50.3	26.4	3.4	0.0	0.0	0.0	19.4	45.6	4.6	39.2	40.8	2011
-89.8	186.6	48.9	15.2	2.2	1.6	0.1	0.0	0.1	0.3	10.6	5.5	35.0	67.0	2012
-75.9	200.5	58.6	11.2	89.2	13.1	0.0	0.0	0.0	0.5	1.0	1.1	11.0	14.8	2013

-118.6	157.8	41.7	10.1	36.7	6.1	0.0	0.1	0.0	0.0	0.8	7.6	26.4	28.3	2014
116.1	392.5	92.1	30.8	30.0	44.1	1.0	0.0	2.9	66.5	9.8	19.8	43.4	52.2	2015
-41.3	235.1	59.3	29.5	1.2	3.7	0.0	0.0	0.0	36.5	1.1	4.6	9.4	89.8	2016
28.4	304.8	48.9	45.7	66.0	22.6	0.0	0.7	3.6	12.6	25.6	20.9	17.3	40.9	2017
-76.8	199.6	52.9	9.2	45.2	59.6	7.7	0.0	0.1	0.8	0.1	5.8	11.0	7.3	2018
124.2	400.6	88.1	37.8	9.0	0.0	0.0	0.5	0.9	1.2	19.7	26.3	178.0	39.1	2019
270.2	546.6	188.4	86.0	5.7	0.3	0.0	0.0	0.5	0.0	3.6	130.0	16.0	116.1	2020
13.0	289.4	142.3	30.8	17.0	8.2	0.0	0.0	0.0	0.0	0.5	15.6	20.9	54.2	2021
107.8	384.2	6.1	32.3	23.8	13.4	26.3	0.8	0.0	5.8	0.6	47.8	72.1	155.2	2022
361.4	637.8	36.7	6.6	0.0	147.6	0.0	0.0	10.5	137.1	18.0	5.3	113.6	162.5	2023
-68.1	208.4	75.4	4.8	6.0	5.7	0.0	0.0	1.0	1.9	0.0	2.2	41.4	70.2	2024
-	276.4	58.0	33.9	23.0	12.4	1.5	0.2	1.4	10.9	9.8	25.7	40.3	59.3	المتوسط
361.4	-	203.7	130.5	89.2	147.6	26.3	2.1	35.0	137.1	45.6	130.0	178.0	221.5	أعلى قيمة
-168.0	-	6.1	2.3	0.0	0.0	0.0	0.0	0.0	0.0	0.1	0.7	7.3		أقل قيمة

المصدر: من عمل الباحثة بناءً على بيانات (<https://power.larc.nasa.gov/data-access>)

شكل (6) المتوسط الشهري لمجموع إجمالي الهطول المطري

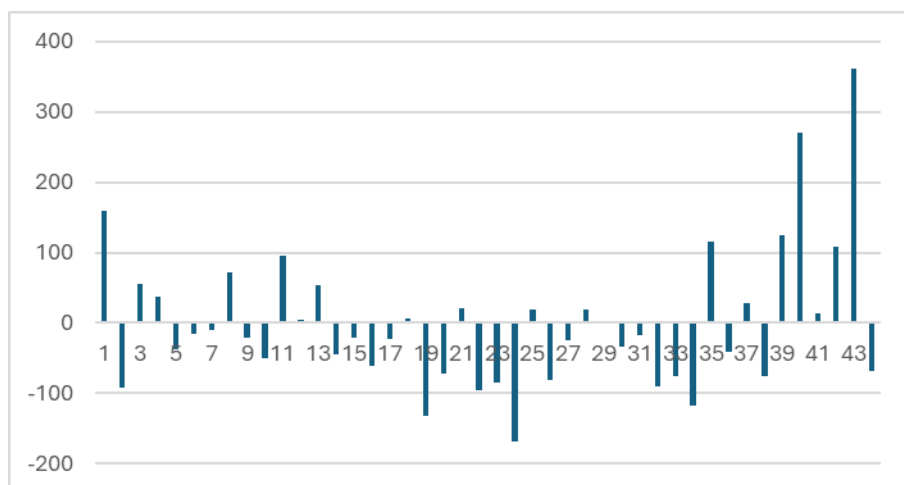
في محطة شحات خلال الفترة (1981-2024م)



المصدر: من عمل الباحثة بناءً على بيانات الجدول رقم (2)

شكل (7) التذبذب السنوي في كميات مجموع إجمالي الهطول المطري

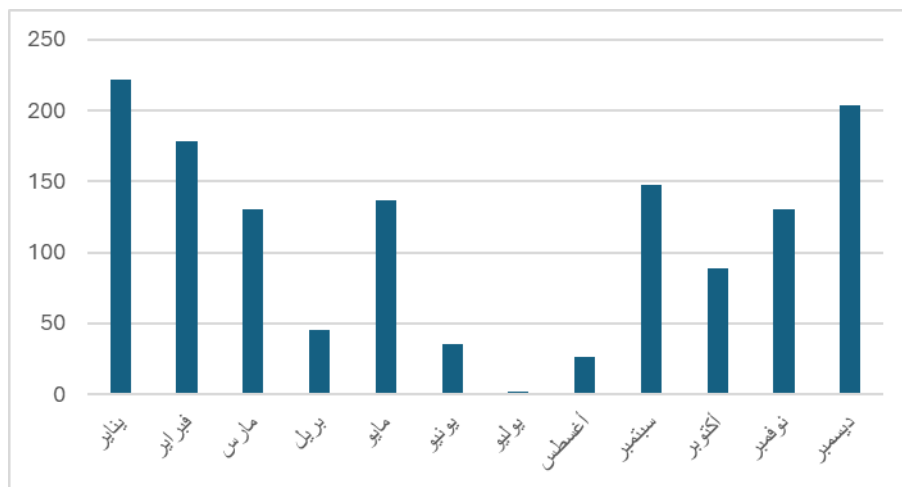
بحثة شحات خلال الفترة (1981-2024م)



المصدر: من عمل الباحثة بناءً على بيانات الجدول رقم (2)

شكل (8) أعلى قيمة للمتوسط الشهري لقيم مجموع إجمالي الهطول المطري

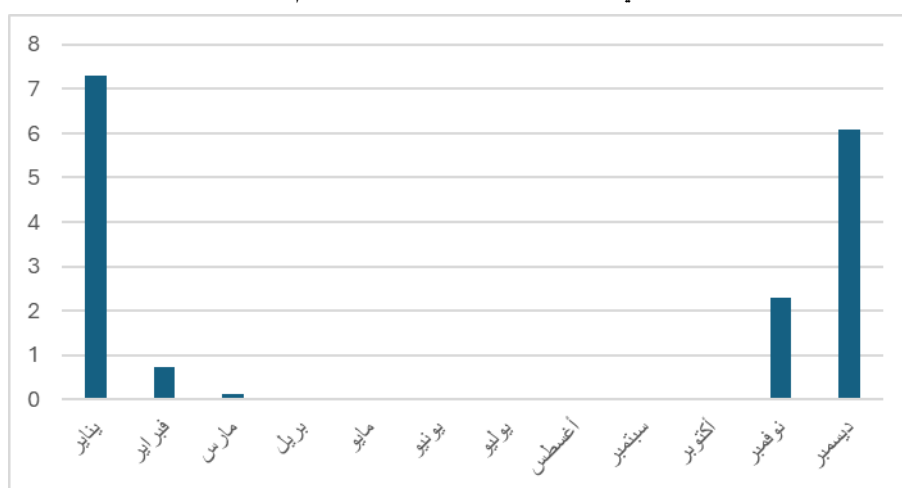
في محطة شحات خلال الفترة (1981–2024م)



المصدر: من عمل الباحثة بناءً على بيانات الجدول رقم (2)

شكل (10) أقل قيمة للمتوسط الشهري لقيم مجموع إجمالي الهطول المطري

في محطة شحات خلال الفترة (1981–2024م)



المصدر: من عمل الباحثة بناءً على بيانات الجدول رقم (2)

يُبيّن جدول مجموع إجمالي الهطول المطري خلال الفترة 1981–2024 تذبذباً سنوياً واضحاً في كميات الأمطار، ما يعكس عدم استقرار النظام المطري في المنطقة. بلغ المتوسط السنوي العام للهطول حوالي 276.4 ملم، وهو ما يستخدم كخط مرجعي لتحديد السنوات الرطبة والجافة.

سُجلت أعلى كمية مطروشية في سنة 2023 بقيمة 637.8 ملم، متراقبة مع أعلى تذبذب موجب (+361.4)، تلتها سنة 2020 بـ 546.6 ملم وتذبذب (+270.2)، ثم سنة 2019 بـ 400.6 ملم. وتشير هذه القيم المرتفعة إلى سنوات مطيرة استثنائية ناتجة عن تكرار وشدة المنخفضات الجوية.

في المقابل، سُجلت أدنى كمية مطر سنوية في سنة 2004 حيث بلغت 108.4 ملم فقط، ورافقتها أكبر قيمة تذبذب سنوية (168.0 ملم) ، تلتها سنة 1999 بـ 143.9 ملم (118.6 ملم)، ثم 2014 بـ 157.8 ملم (132.5 ملم)، ما يعكس فترات جفاف حاد. على المستوى الشهري، سُجل شهر يناير أعلى قيمة مطلقة بلغت 221.52 ملم في سنة 1993، بينما بلغ فبراير ذروته في 178 (2019 ملم)، ومارس في 2020 (أما أبريل فسجل أعلى قيمة له في 45.64 ملم)، في حين بلغت أقصى قيمة لشهر مايو 137.07 ملم في 2023. وُظهر أشهر الصيف (يونيو-أغسطس) أدنى القيم، حيث سُجلت عدة سنوات بقيم صفرية، مما يؤكد الطابع الجاف للفصل الصيفي. في المقابل، ساهمت أشهر الخريف والشتاء، خاصة نوفمبر (أعلى قيمة 130.49 ملم في 1984) وديسمبر (203.73 ملم في 1991)، بشكل كبير في رفع المجموع السنوي.

بصورة عامة، يوضح التفاوت الكبير بين القيم العليا والدنيا أن الهطول المطري يتسم بتذبذب شديد زمنياً، مع تعاقب غير منتظم لسنوات رطبة وأخرى جافة، وهو ما له انعكاسات مباشرة على الموارد المائية والتخطيط البيئي والزراعي في المنطقة.

تُظهر المقارنة بين جدول إجمالي الهطول المطري ومجموع إجمالي الهطول المطري للفترة 1981-2024 تبايناً في السلوك العام واختلافاً في شدة القيم. يعكس الجدول الأول متoscاطات مطرية سنوية منخفضة نسبياً بمتوسط عام بلغ نحو 9.1 ملم، بينما يُظهر الجدول الثاني القيم التراكمية الفعلية للهطول بمتوسط سنوي أعلى بكثير بلغ 276.4 ملم، ما يجعل التذبذب في الجدول الثاني أكثر وضوحاً وحدة. تتفق السلطان في تحديد السنوات الرطبة والجافة، حيث بُرِزت سنوات 2023 و2020 و2019 كأكثر السنوات مطرًا في كلا الجدولين، في حين سُجلت سنوات 2004 و1999 و2014 ضمن أكثر السنوات جفافاً. إلا أن مقدار التذبذب كان محدوداً في الجدول الأول مقارنة بالجدول الثاني، إذ بلغ أقصى تذبذب موجب في الأول نحو 12.1، مقابل 361.4+ في الثاني، ما يعكس حساسية القيم التراكمية للتغيرات المناخية. كما أن القيم الدنيا في الجدول الثاني كانت أكثر تطرفاً، خاصة في سنة 2004 التي سُجلت أكبر عجز مطري. على المستوى الشهري، يتواافق الجدولان في إبراز ترکَّز الهطول في أشهر الشتاء والخريف، خاصة يناير ونوفمبر وديسمبر، مقابل شبه انعدام المطر في أشهر الصيف. وُظهر الجدول الأول تبايناً نسبياً أكثر سلاسة بسبب اعتماده على المتoscاطات، في حين يكشف الجدول الثاني بوضوح عن أحداث مطرية شديدة وقصيرة المدى رفعت الماجموع السنوية. وبصورة عامة، يمكن القول إن الجدول الأول يعكس الاتجاه العام والخصائص المناخية المتوسطة، بينما يُبرِز الجدول الثاني التطرف المطري والتذبذب الحقيقي، ويُكمِل كل منهما الآخر في فهم ديناميكية الهطول المطري في المنطقة.

أظهرت نتائج جدول رقم (1) حساب التباين والانحراف المعياري لإجمالي الهطول المطري خلال الفترة 1981-2024 تبايناً زمنياً واضحاً بين الأشهر، مما يعكس عدم انتظام توزيع الأمطار على مدار السنة. فقد سُجل شهر ديسمبر أعلى قيمة للتباين بلغت 3.21 وانحرافاً معيارياً قدره 1.79، يليه شهر يناير بتباين 2.77 وانحراف معياري 1.66، وهو ما يدل على شدة التذبذب في الأمطار الشتوية نتيجة تكرار الأحداث المطرية القوية أو غيابها في بعض السنوات. كما أظهرت شهور فبراير ومارس قيمة متوسطة نسبياً للتباين والانحراف المعياري، الأمر الذي يعكس انتقالاً تدريجياً في النظام المطري خلال أواخر الشتاء وبداية الربيع. في المقابل، سُجلت أشهر الصيف، خاصة يوليو وأغسطس، أدنى قيم للتباين والانحراف المعياري، حيث بلغ التباين 0.01 و0.07 على التوالي، مما يؤكد الطابع الجاف والمستقر للموسم الصيفي وشبهه انعدام الهطول المطري خلاله. وُظهر أشهر أبريل ومايو ويونيو تذبذباً محدوداً مقارنة بالشتاء، وهو ما يشير إلى ضعف مساهمتها في إجمالي المطر السنوي. كما بُرِز شهر سبتمبر وأكتوبر بقيم تباين وانحراف معياري متوسطة، تعكس بداية النشاط المطري الخريفي وعدم استقراره. ويلاحظ أن ارتفاع الانحراف المعياري مقارنة بمتوسطات بعض الأشهر يدل على حدوث حالات مطرية متطرفة متقطعة ترفع القيم السنوية دون انتظام زمني ثابت. وبصورة عامة، تعكس هذه النتائج خصائص مناخية شبه جافة تتسم بتركز الأمطار في فترة زمنية محدودة من السنة، مع تذبذب واضح في شدتها من عام إلى آخر، وهو ما يبرِز أهمية دراسة هذا التباين عند التخطيط لإدارة الموارد المائية والأنشطة الزراعية في المنطقة.

أظهر جدول رقم (2) تحليل الانحراف المعياري لمجموع إجمالي الهطول المطري خلال الفترة الممتدة من 1981 إلى 2024 تبايناً شهرياً واضحاً يعكس الطبيعة غير المنتظمة للأمطار في المنطقة المدروسة. فقد سُجل أعلى انحراف معياري خلال أشهر الشتاء، لا سيما ديسمبر بقيمة 56.4 ملم ويناير بقيمة 52.8 ملم، وهو ما يدل على شدة التذبذب في كميات الأمطار الشتوية نتيجة تكرار الأحداث المطرية القوية في بعض السنوات مقابل ضعفها أو

غيابها في سنوات أخرى. كما أظهرت أشهر فبراير ومارس ونوفمبر انحرافات معيارية مرتفعة نسبياً، مما يعكس عدم استقرار الفترات الانتقالية بين الفصول وتأثيرها بالتقلبات الجوية. في المقابل، سجل شهر أبريل انحرافاً معيارياً متوسطاً، مما يشير إلى تراجع تدريجي في نشاط الأمطار مع بداية الانتقال نحو الموسم الجاف. وبين أن أشهر الصيف، وخاصة يونيو ويوليو وأغسطس، سجلت أدنى قيم للانحراف المعياري، حيث بلغ في يونيو نحو 0.7 ملم فقط، وهو ما يؤكد الاستقرار الجاف شبه التام خلال هذه الفترة وضعف مساهمتها في المجموع المطري السنوي. كما بز شهر سبتمبر بانحراف معياري مرتفع نسبياً مقارنة بمتوسطه، مما يعكس عدم انتظام بداية الموسم المطري واحتمالية حدوث حالات مطرية مفاجئة. وتُظهر هذه النتائج أن التباين في مجموع الهطول المطري لا يرتبط فقط باختلاف الفصول، بل يعكس أيضاً تركيز الأمطار في فترات زمنية قصيرة وعدم انتظام توزيعها السنوي. وبصفة عامة، يؤكد ارتفاع الانحراف المعياري في أشهر الشتاء وانخفاضه الحاد في أشهر الصيف الخصائص المناخية شبه الجافة للمنطقة، ويزّ أهميةأخذ هذا التذبذب في الاعتبار عند دراسة الموارد المائية والتخطيط الزراعي وإدارة مخاطر الفيضانات والجفاف.

ومن خلال بيانات **الهطول المطري الشهري المتوسط**، وبيانات **مجموع الهطول المطري السنوي**، في كلتا الحالتين يظهر تذبذب واضح للأمطار مع أقصى انحراف في أشهر الشتاء، وخصوصاً ديسember ويناير، مما يعكس شدة التغير في كميات الأمطار. الفقرة الأولى تستخدم القيم النسبية للتباين والانحراف المعياري لتوضيح انتظام أو انعدام المطر في كل شهر، بينما بيانات **مجموع الهطول المطري** تعتمد على القيم المطلقة بالليمترات، مما يبرز حجم الأمطار الكلية السنوية وتأثير الأحداث المطرية الكبيرة. كما أن كلا التحليلين يشيران إلى استقرار شبه تام في الصيف (يونيو، يوليو، أغسطس) وانخفاض مساهمة هذه الأشهر في الهطول السنوي. في بيانات **المطر الشهري** يلاحظ القارئ أهمية الفصول الانتقالية (مارس، أبريل، سبتمبر، أكتوبر) وتأثيرها على توزيع الأمطار، بينما بيانات **مجموع الهطول** توضح بشكل أدق التذبذب الكبير في الفترات الانتقالية وفصل الشتاء باستخدام القيم المطلقة. بصفة عامة، الفقرة الأولى أكثر تركيزاً على **النطء الشهري النسبي للأمطار**، أما الفقرة الثانية في توضح تراكم المطر السنوي وتفاوته بين السنوات. كلاهما يؤكد الخصائص المناخية شبه الجافة للمنطقة وال الحاجة إلى إدارة الموارد المائية بناءً على هذا التباين. الاختلاف الأبرز هو أن القيم المطلقة في الفقرة الثانية تجعل أثر الفيضانات والجفاف أكثروضوحاً، بينما الفقرة الأولى تعطي صورة عن انتظام المطر النسبي. في النهاية، كلا التحليلين متكاملان لفهم ديناميكيات المطر من حيث التوزيع الشهري والتراكم السنوي.

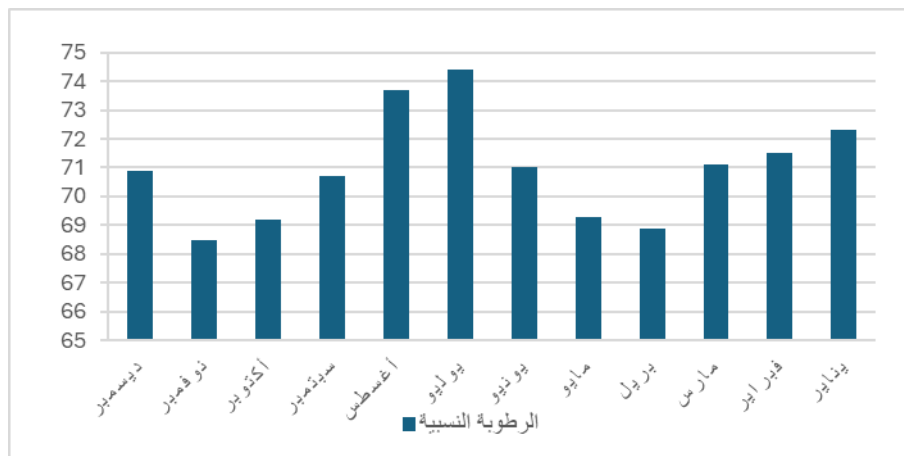
جدول (3) المتوسطات الشهرية لدرجة الحرارة والرطوبة النسبية على ارتفاع مترين
في محطة شحات خلال الفترة (1981–2024م).

العنصر	يناير	فبراير	مارس	بريل	مايو	يونيو	يوليو	أغسطس	سبتمبر	أكتوبر	نوفمبر	ديسمبر	الموسط
الرطوبة النسبية على ارتفاع مترين	72.3	71.5	71.1	68.9	69.	71.	74.	73.	70.	69.	68.	5	70.0
درجة الحرارة على ارتفاع مترين	14.2	13.9	15.1	17.3	20.	23.	25.	26.	22.	25.	19.	3	20.0
أقصى درجة حرارة على ارتفاع مترين	19.6	20.5	23.6	27.9	31.	33.	31.	31.	32.	31.	26.	1	35.0
أدنى درجة حرارة على ارتفاع مترين	10.3	9.8	10.7	12.4	15.	18.	21.	23.	21.	23.	18.	1	9.2

المصدر: من عمل الباحثة بناءً على بيانات (<https://power.larc.nasa.gov/data-access>)

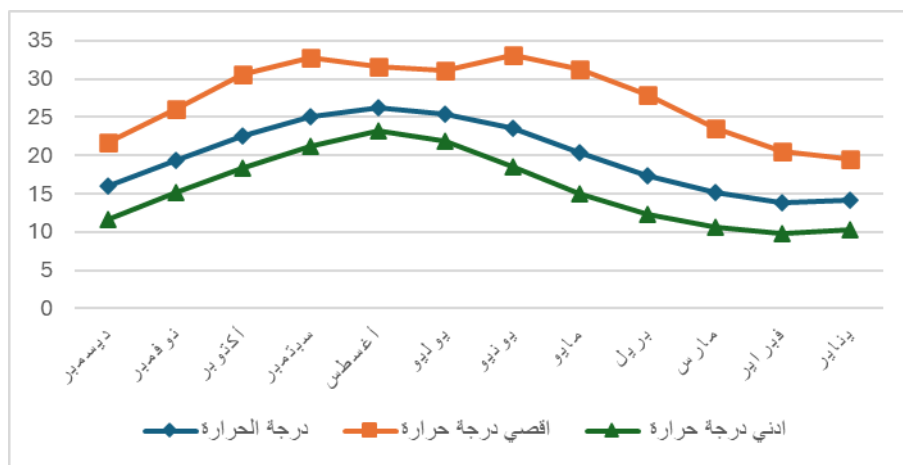
توضح مقارنة نتائج التباين والانحراف المعياري للهطول المطري مع القيم المناخية أن التذبذب الكبير في الأمطار خلال أشهر الشتاء، خاصة ديسمبر ويناير، يرتبط بالرطوبة النسبية المرتفعة نسبياً (70.9–72.3%) ودرجات الحرارة المنخفضة إلى المعتدلة (14.2–16.1°C)، حيث توفر هذه الظروف بيئة مناسبة لتكون الأمطار، لكن عدم انتظام الهطول بين السنوات يؤدي إلى ارتفاع التباين والانحراف المعياري. في المقابل، يظهر الصيف استقراراً جافاً مع انخفاض شديد في التذبذب المطري، ويقابله ارتفاع كبير في درجات الحرارة (25–26°C) على الرغم من الرطوبة المرتفعة (73–74%)، مما يزيد التبخر ويحد من الهطول الفعلي، مفسراً أدنى قيم الانحراف المعياري في يوليو وأغسطس. أما الفصول الانتقالية مثل مارس وأبريل ونوفمبر فتظهر تذبذباً متواصلاً في الهطول المطري، بما يتوافق مع متوسطات الرطوبة والحرارة المعتدلة (68–71% و19–15°C)، مما يعكس عدم استقرار النظام المطري خلال فترات الانتقال بين الشتاء والصيف. كذلك يلاحظ أن ارتفاع الانحراف المعياري في بعض الأشهر يعود إلى حالات مطرية متطرفة محدودة، مما يرفع القيم السنوية دون انتظام ثابت. بشكل عام، تؤكد هذه العلاقة بين الهطول المطري وخصائص الحرارة والرطوبة أن التذبذب المطري في المنطقة يتآثر بالظروف المناخية الموسمية، حيث يزداد في الشتاء نتيجة الظروف الملائمة للأمطار، وينخفض حاداً في الصيف بسبب الحرارة المرتفعة، بينما تعكس الفصول الانتقالية تذبذباً متواصلاً، مما يبرز أهمية مراعاة هذه العوامل عند التخطيط لإدارة الموارد المائية والزراعة ومخاطر الفيضانات والجفاف.

شكل (11) المتوسطات الشهرية للرطوبة النسبية في محطة شحات خلال الفترة (1981–2024م).



المصدر: من عمل الباحثة بناءً على بيانات الجدول رقم (3)

شكل (12) المتوسطات الشهرية لدرجة الحرارة (البعضي - الصغرى)
في محطة شحات خلال الفترة (1981–2024م).



المصدر: من عمل الباحثة بناءً على بيانات الجدول رقم (3)

نتيجة البحث:

أثبتت البحث أن الهطول المطري في شحات يتسم بتذبذب واضح، مع تركيز كبير للأمطار في فصل الشتاء والخريف واستقرار شبه تام في الصيف. كما أن التباين والانحراف المعياري مرتبطة بالظروف المناخية الموسمية، إذ تزيد الأمطار في الأوقات التي تتسم بالرطوبة المعتدلة ودرجات الحرارة المنخفضة، وتقل في الفترات الحارة والجافة.

- التبذبذب السنوي العام: بلغ متوسط الهطول السنوي نحو 9.1 ملم، بينما تراوحت القيم بين حد أدنى 3.5 ملم سنة 2004 وحد أقصى 21.2 ملم سنة 2023، مما يعكس تفاوتاً كبيراً بين السنوات الجافة والمطرة.

2. أعلى التذبذب السنوي: سجل سنة 2023 أعلى تذبذب موجب 12.1 ملم، تلتها سنة 2020 8.7 ملم و 1981 5.4 ملم، ما يدل على سنوات مطيرة نسبياً.
3. أدنى التذبذب السنوي: سجلت سنة 2004 أكبر قيمة تذبذب سنوية 5.6- ملم، تلتها 1999 4.4- ملم و 2014 3.9- ملم، مما يعكس فترات جفاف واضحة.
4. التذبذب الشهري الشتوي: أعلى قيم التباين والانحراف المعياري كانت في ديسمبر 1.79 ويناير 1.66 ملم، ما يعكس تذبذباً شديداً في الشتاء.
5. التذبذب الشهري الصيفي: أدنى قيم التباين والانحراف المعياري كانت في يوليو 0.01 وآغسطس 0.07 و 0.07 ملم، ما يعكس استقرار الصيف وجفافه شبه التام.
6. مجموع الهاطل السنوي: بلغ المتوسط السنوي 4276.4 ملم، مع أعلى قيمة في 2023 637.8 ملم وأدنى قيمة في 2004 108.4 ملم، ما يظهر التفاوت الكبير بين السنوات.
7. التركيز الموسعي للأمطار: يتركز معظم الهاطل في الشتاء والخريف، خاصة نوفمبر 1.13 ملم وديسمبر 1.87 ملم، بينما تكاد الأمطار تختفي في الصيف (يونيو-أغسطس).
8. العلاقة بالرطوبة: أعلى التذبذب المطري يتزامن مع رطوبة نسبية مرتفعة (70.9-72.3%) خلال ديسمبر ويناير، مما يعزز تكون الأمطار.
9. العلاقة بالحرارة: انخفاض درجات الحرارة الشتوية (14.2-16.1°C) يواكب أعلى التذبذب المطري، في حين ارتفاع درجات الحرارة الصيفية (25-26°C) يقابل انخفاض الهاطل وزيادة الجفاف.
10. الفصول الانتقالية: مارس وأبريل وسبتمبر وأكتوبر شهدت تذبذباً متواصلاً، مع هطول غير منتظم يعكس تأثير الظروف المناخية المتغيرة خلال فترات الانتقال بين الفصول.

توصيات البحث:

1. اعتماد إدارة الموارد المائية على تحليل التذبذب المطري السنوي والشهري.
2. تحسين التخطيط الزراعي مع مراعاة التذبذب الكبير بين السنوات.
3. إنشاء محطات مراقبة إضافية للرصد الدقيق للهاطل المطري.
4. تطوير نماذج تنبؤ بالأمطار بناءً على العلاقة بين الرطوبة، درجات الحرارة، والهاطل المطري.
5. توعية المزارعين بأهمية تخزين المياه خلال السنوات المطيرة لمواجهة الجفاف.

المراجع

المراجع العربية

- (1) أسمهان عثمان وناجي الحبات، نمذجة اتجاهات معدلات الهاطل المطري في محطة الأرصاد الجوية بسحاجات (1961-2050) باستخدام التقنيات الإحصائية، مجلة العلوم الإنسانية والتطبيقية، ليبيا، 2023.
- (2) جمعة أرحومة جمعة الجالي، اتجاهات التغير في كميات الأمطار في شمال شرق ليبيا خلال الفترة 1961-2010، أرشيف جامعة عمر المختار - مستودع الأبحاث الإلكترونية، ليبيا، 2020م dspace.omu.edu.ly.
- (3) زهير ب. حافي، تحليل اتجاهات السلسلة الزمنية للهاطل السنوي في شمال غرب ليبيا، مجلة ليبيا للعلوم، ليبيا، 2022م.
- (4) صابرين سالم صالح، تحليل فترات الجفاف والرطوبة في محطة سحاجات للفترة 1945-2007م، المجلة العربية للدراسات الجغرافية، المجلد 3، العدد 4، ليبيا، 2020م.
- (5) فدوى إبراهيم سالم العقوري، الحرارة وتأثيرها على الراحة والإلهاق المناخي بشمال ليبيا (دراسة في المناخ التطبيقي)، (رسالة دكتوراه)، قسم الجغرافيا ونظم المعلومات الجغرافية، كلية الآداب، جامعة المنصورة، 2021م.

المراجع الاجنبية :

- . dspace.omu.edu.ly أرشيف جامعة عمر المختار Al-Jali, J. A. J. (2020) — Change trends in rainfall amounts in northeastern Libya, .1
- Hafi, Z. B. (2022) — Trend Analysis of Annual Rainfall Time Series in Northwest Libya, The Libyan Journal of Science, .2
- Mahmoud Saad Ibrahim (2010). *The impact of rainfall variability on desertification in northeastern Libya*. M.Sc. Thesis, University of .3
Benghazi, Libya, pp. 45-50.
- Othman & Al-Habbat (2023) — Modeling Trends in Rainfall Rates at Shahat Meteorological Station, .4
[الجامعة المرج](https://khsj.elmergib.edu.ly)

مراجع الالكترونية:

- <https://power.larc.nasa.gov/data-access> .1